

モチーフ構造を活用した 脳型ソフトウェア向け機能階層図の ボトムアップからの構築

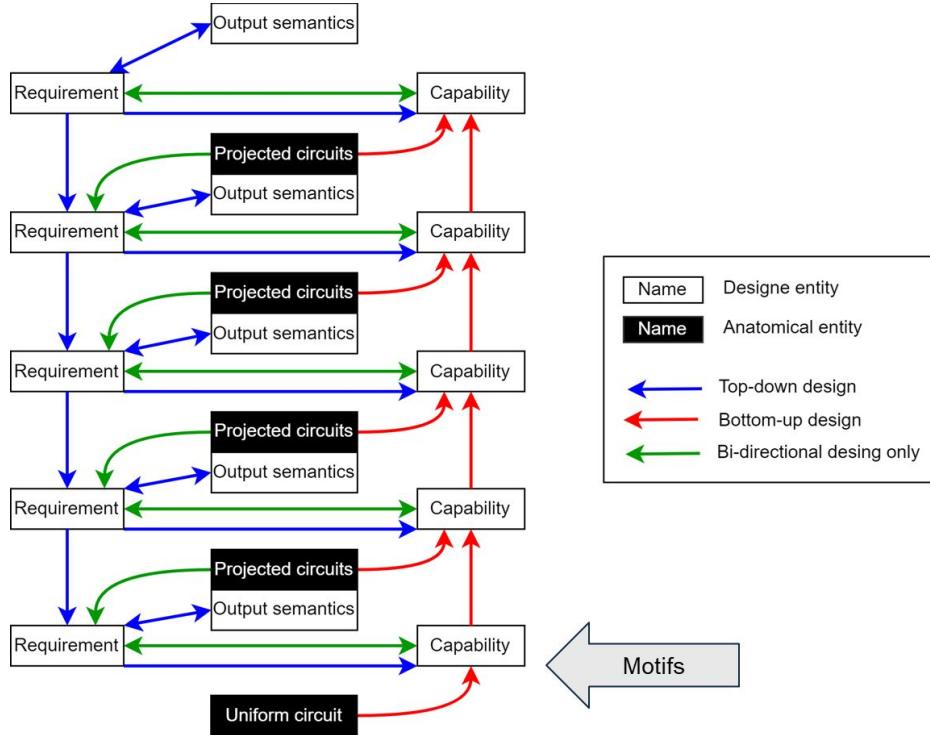
丸山 洋平 (WBAI)

Data for Brain Reference Architecture of YM24Amygdala

Neural Architecture for Amygdala Fear Conditioning

Yohei Maruyama, Tatsuya Miyamoto, Yoshimasa Tawatsuji, Hiroshi Yamakawa

BRA driven development

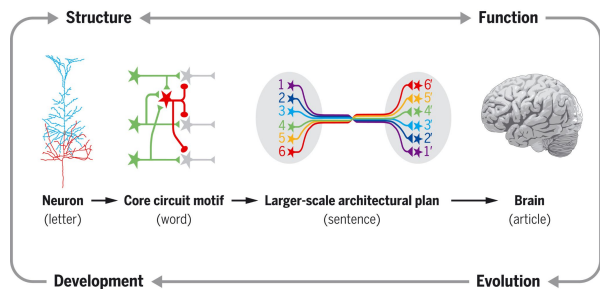


・脳機能を考えるうえで、
トップダウンかボトムアップ、
あるいはその両方から考える方向性がある。

・今回は、ボトムアップからの積み上げによって機能を考える。

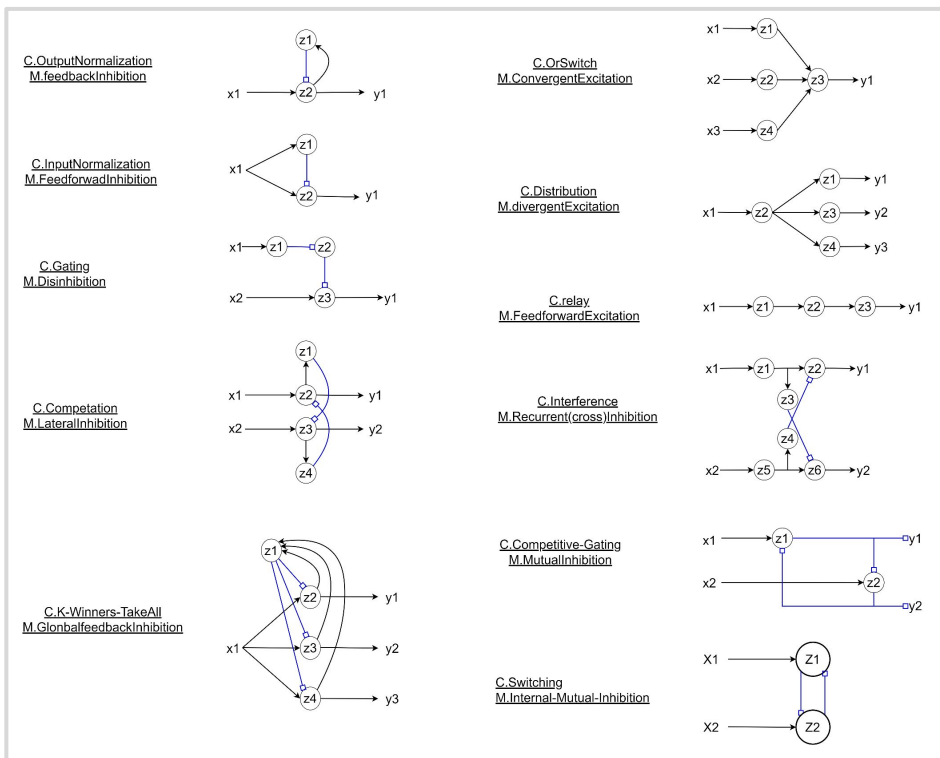
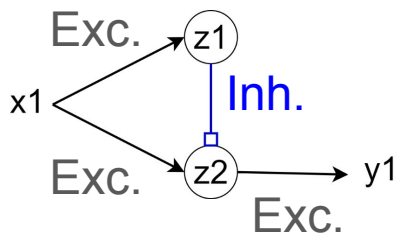
・「モチーフ」という構造に着目する。

Motifs



(L Luo., 2021, science)

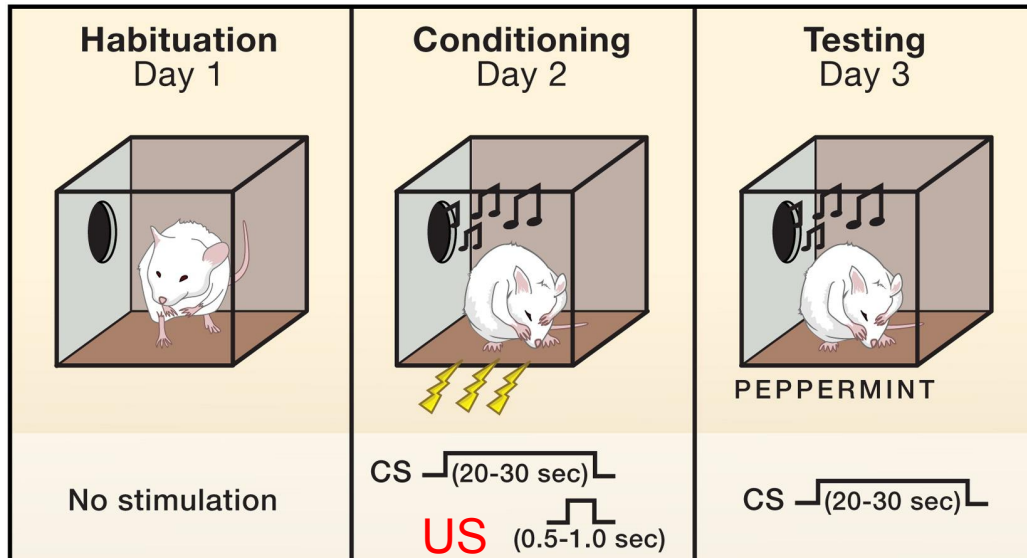
C.InputNormalization
M.FeedforwardInhibition



- ・モチーフは、ニューロン (や神経核) が集まった一つの構造単位で、対応して機能が付与されている。
- ・例えば、下流の信号強度を調節する、Input-Normalizationがある。
- ・これらの構造に対応する機能を組み合わせて、脳のある領域の機能を考えていこうというとする概念自体はあるが、実際の取り組みはまだあまりない。

Background of the Data (1/2)

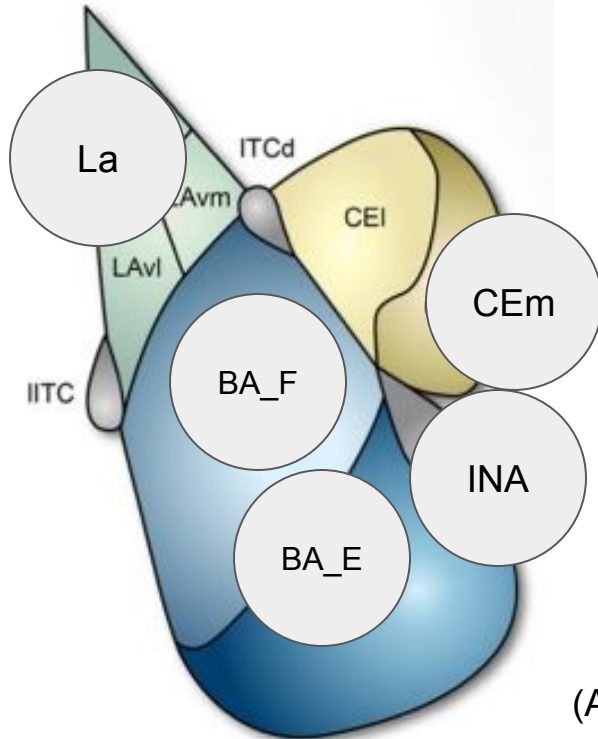
□Amygdala fear conditioning.



- ・今回対象とする、
扁桃体(Amygdala)には
恐怖条件付け回路がある。
- ・恐怖を引き起こす刺激(US)と
無関係な刺激(CS)を
「対」で提示すると、
無関係な刺激に恐怖反応を
起こす。

Background of the Data (2/2)

□Amygdala fear conditioning circuitry.



・解剖学的知見等から、この恐怖反応には、以下の領域が大事。

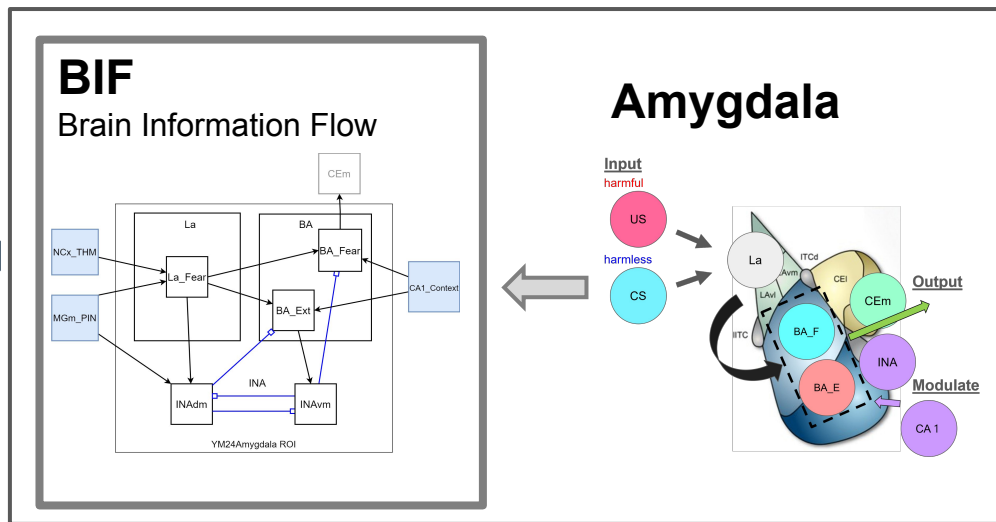
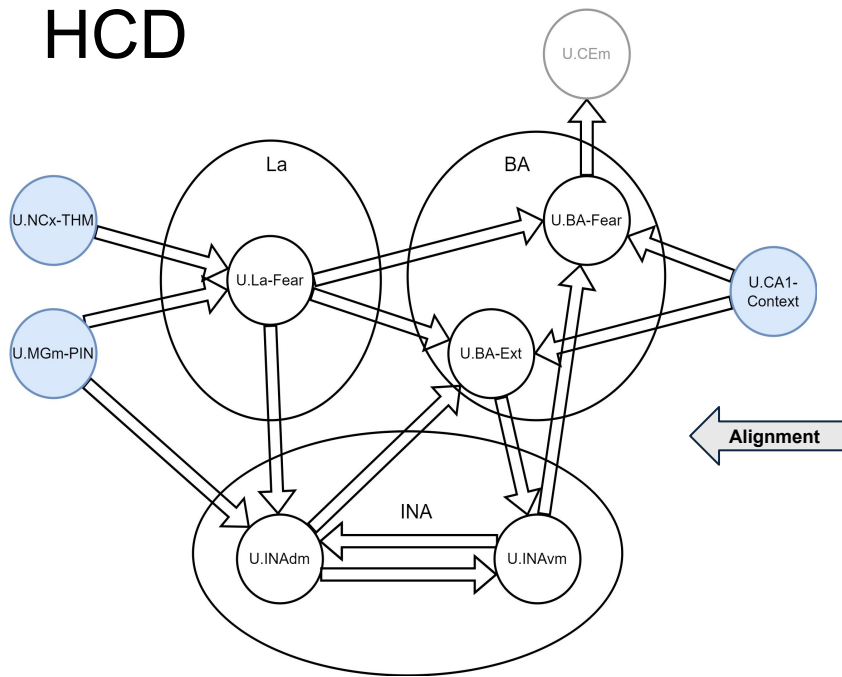
**Lateral nucleus (La),
Basal nucleus (BA),
Central nucleus (CEN), and
Intercalated cell masses (INA)**

・これらの領域に着目して、HCDを形成し、motifをあてこんでいって、ボトムアップで機能を考える。

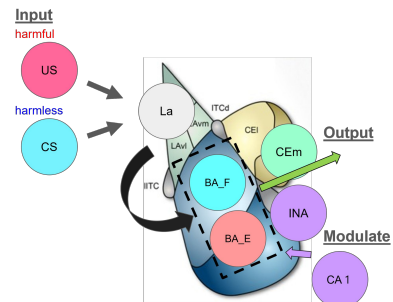
(Adapted from Seungho Lee et al., 2013.)

HCD and FRG

HCD



Amygdala

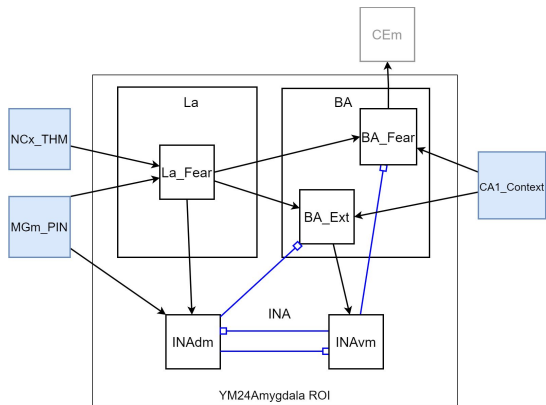


・仮説的コンポーネント図であるHCDは、解剖学的知見の集合であるBIFをもとに構築。
HCDとBIFともに **TM24 Amygdala** projectで構築。

・HCDにmotifを当て込んで、Amygdalaの機能がmotifの機能の積み上げで表現できそうか見ていく。

BIF data (neural nuclei)

BIF



• BIFとHCDは**TM24Amygdala** projectにて構築されている。

• BIFは8つの神経核と、14のコネクションから成る。

Circuits(neural nuclei, 8)

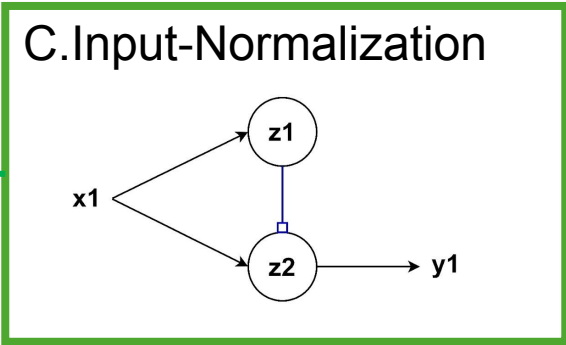
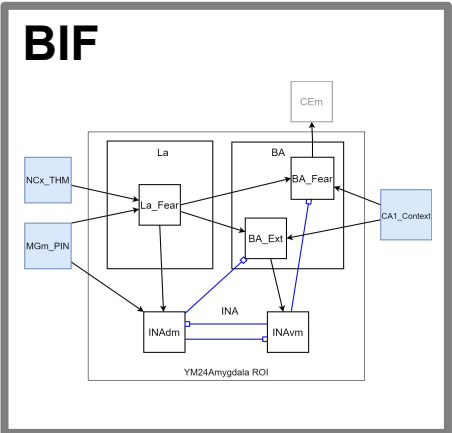
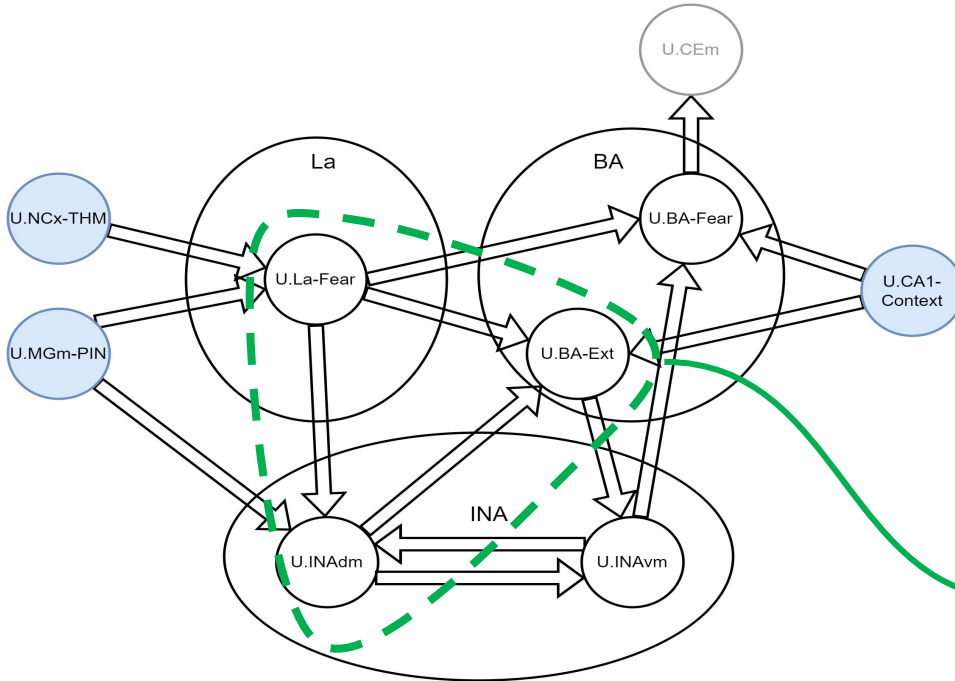
	A	B	C	D	S	T	U	V	W	X	Y	Z	AA	AB	AC	AD	AE	AF	AG
	Circuit ID	Source of ID	Names	DHBA: graph_order	Sub-Circuits	Super Class	Uniform	Transmitter	Modulation Type	Size	Output Semantics (0)	Physiological Data	Comments	Contributor	Project ID	WBIF pull request	WBIF copied	Review results	Auto Error Codes
1	YM24Amygdala	[Maruyama, 2024]	ROI of YM24Amygdala	1760.1	La_Fear;BA;INAdm;INAvm		FALSE							Yoshimasa Tavatsuji	TM24Amygdala				0
2	NCx_THM	makeshift	Conditioned stimulus of fear conditioning	1760.1	NCx;THM;		TRUE		Excitatory					Tatsuya Miyamoto	TM24Amygdala			Warning: 1	1 Warning(s); [109:Source of ID]
3	MGm_PIN	[Asede, 2022]	Unconditioned stimulus of fear conditioning	1760.1			TRUE		Excitatory					Tatsuya Miyamoto	TM24Amygdala				0
4	BA	[Duvarci, 2014]	Basal nucleus of Amygdala	1793.2	BA_Fear;BA_Ext;		FALSE							Tatsuya Miyamoto	TM24Amygdala				0
5	BA_Fear	makeshift	Fear cell of BA	1793.2			TRUE		Excitatory					Tatsuya Miyamoto	TM24Amygdala			Warning: 1	1 Warning(s); [109:Source of ID]
6	BA_Ext	makeshift	Extinction cell of BA	1793.2			TRUE		Excitatory					Tatsuya Miyamoto	TM24Amygdala			Warning: 1	1 Warning(s); [109:Source of ID]
7	INAdm	[Hagihara, 2021]	dorsal cluster of medial ITC	1824.1			TRUE	GABA	Inhibitory					Tatsuya Miyamoto	TM24Amygdala				0
8	INAvm	[Hagihara, 2021]	ventral cluster of medial ITC	1824.1			TRUE	GABA	Inhibitory					Tatsuya Miyamoto	TM24Amygdala				0
9	La_Fear	makeshift	fear part of Lateral nucleus of amygdala	1794.1			TRUE							Tatsuya Miyamoto	TM24Amygdala			Warning: 1	1 Warning(s); [109:Source of ID]
10	CA1_Context	makeshift	CA1 resion for Context Information	1619.1			TRUE							Tatsuya Miyamoto	TM24Amygdala			Warning: 1	1 Warning(s); [109:Source of ID]

BIF data (Connections)

Connections (14)

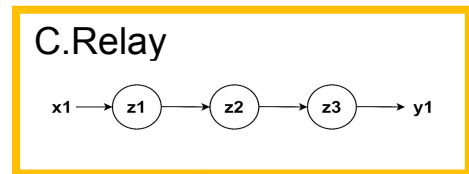
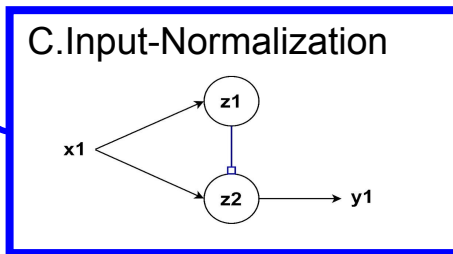
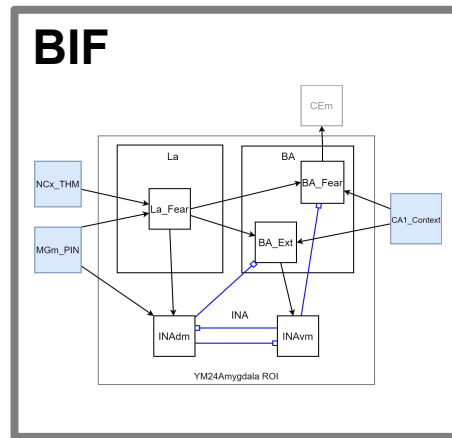
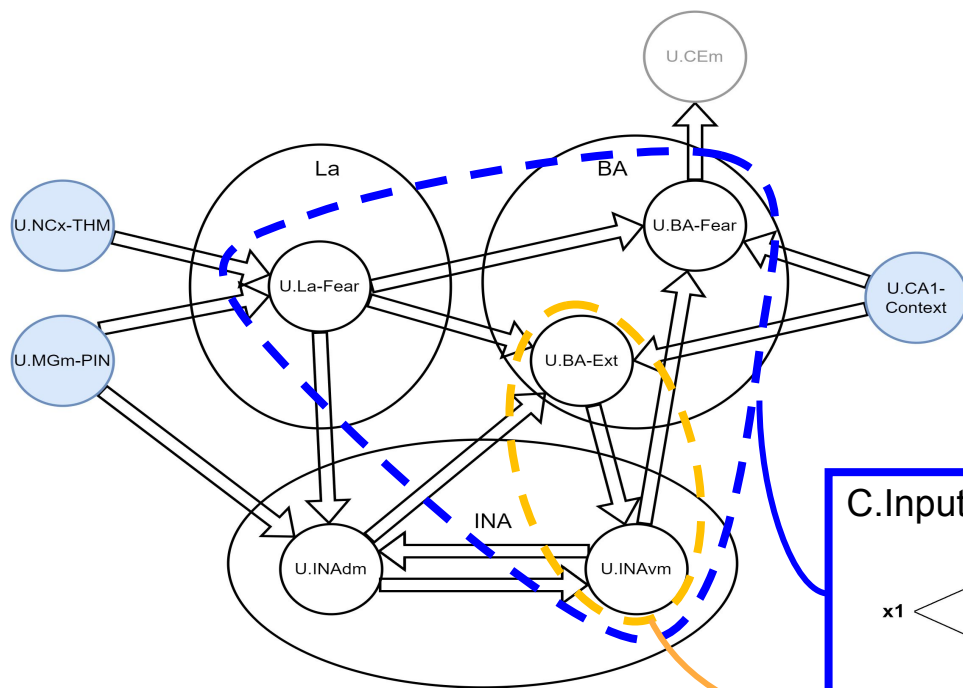
ID	Sender Circuit ID (sCID)	sCID relation	Notation of sCID in Literature	Receiver Circuit ID (rCID)	rCID relation	Notation of rCID in Literature	Size	Comments	Reference ID	Taxon	Measurement method	Pointers on literature	Pointers on figure	In-depth literature	Doc. Link	Journal names	Literature type	Display string per join	Combined string for search	Reference ID	Source region score	Receiver region score	Journal score	Literature type score	Taxon score	Method score	Credibility rating (CR)	Summarized CR	Reviewed CR	Summarized Reviewed CR	Contributor	Project ID	Weight
1	NCX_THM	=		La_Fear	<	La			Pikänen, 2000	Mouse	Unsurveyed		3	DOC(ati)	Folia morphologica	Review	La_Fear (03/03) [Pikänen, 2000]	NCX_THMLa_Fear	[Pikänen, 2000]	1.000	0.700	0.950	0.800	0.5	0.1	0.027	0.027	0.027	0.027	Tatsuya Miyamoto	TM24Amygdala		
2	MGM_PIN	=		La_Fear	<	La			Linke, 2000	Mouse	Axonal tracing		7	DOC	Experimental Brain Research	Experimental results	La_Fear (02/02) [Linke, 2000]	MGM_PINLa_Fear	[Linke, 2000]	1.000	0.700	0.950	1.000	0.5	0.95	0.316	0.316	0.316	0.316	Tatsuya Miyamoto	TM24Amygdala		
3	MGM_PIN	=		INAdm	=	INAdm			Asede, 2022	Mouse	Unsurveyed		2	DOC	The Journal of Neuroscience	Review	INAdm (00/00) [Asede, 2022]	MGM_PININAdm	[Asede, 2022]	1.000	1.000	0.000	0.800	0.5	0.1	0.000	0.000	0.000	0.000	Tatsuya Miyamoto	TM24Amygdala		
4	La_Fear	<	La	BA_Fear	<	BA			Duvarci, 2014	Mouse	Unsurveyed		2	DOC	Neuron	Review	BA_Fear (02/02) [Duvarci, 2014]	La_FearBA_Fear	[Duvarci, 2014]	0.700	0.700	0.950	0.800	0.5	0.1	0.019	0.019	0.019	0.019	Tatsuya Miyamoto	TM24Amygdala		
5	La_Fear	<	La	BA_Ext	<	BA			Duvarci, 2014	Mouse	Unsurveyed		2	DOC	Neuron	Review	BA_Ext (02/02) [Duvarci, 2014]	La_FearBA_Ext	[Duvarci, 2014]	0.700	0.700	0.950	0.800	0.5	0.1	0.019	0.019	0.019	0.019	Tatsuya Miyamoto	TM24Amygdala		
6	La_Fear	<	La	INAdm	=	INAdm			Duvarci, 2014	Mouse	Unsurveyed		2	DOC	Neuron	Review	INAdm (03/03) [Duvarci, 2014]	La_FearINAdm	[Duvarci, 2014]	0.700	1.000	0.950	0.800	0.5	0.1	0.027	0.027	0.027	0.027	Tatsuya Miyamoto	TM24Amygdala		
7	INAdm	=		BA_Ext	=	BA_Ext			Hagihara, 2021	Mouse	Optogenetic		4	DOC	Nature	Experimental results	BA_Ext (14/14) [Hagihara, 2021]	INAdmBA_Ext	[Hagihara, 2021]	1.000	1.000	0.950	1.000	0.5	0.3	0.143	0.143	0.143	0.143	Tatsuya Miyamoto	TM24Amygdala		
8	INAdm	=		INAvm	=	INAvm		Measurement method: anterograde tracing	Hagihara, 2021	Mouse	Anterograde tracing		10	DOC	Nature	Experimental results	INAvm (20/20) [Hagihara, 2021] Measurement method: anterograde tracing.	INAdmINAvm	[Hagihara, 2021]	1.000	1.000	0.950	1.000	0.5	0.6	0.285	0.285	0.285	0.285	Tatsuya Miyamoto	TM24Amygdala		
9	INAvm	=		INAdm	=	INAdm		Measurement method: anterograde tracing	Hagihara, 2021	Mouse	Retrograde tracing		10	DOC	Nature	Experimental results	INAdm (48/48) [Hagihara, 2021] Measurement method: anterograde tracing.	INAvmINAdm	[Hagihara, 2021]	1.000	1.000	0.950	1.000	0.5	1	0.475	0.475	0.475	0.475	Tatsuya Miyamoto	TM24Amygdala		
10	INAvm	=		BA_Fear	=	BA_Fear			Hagihara, 2021	Mouse	Optogenetic		4	DOC	Nature	Experimental results	BA_Fear (14/14) [Hagihara, 2021]	INAvmBA_Fear	[Hagihara, 2021]	1.000	1.000	0.950	1.000	0.5	0.3	0.143	0.143	0.143	0.143	Tatsuya Miyamoto	TM24Amygdala		
11	CA1_Context	<	CA1	BA_Fear	<	BA			Pikänen, 2000	Mouse	Unsurveyed		4	DOC(ati)	Folia morphologica	Review	BA_Fear (02/02) [Pikänen, 2000]	CA1_ContextBA_Fear	[Pikänen, 2000]	0.700	0.700	0.950	0.800	0.5	0.1	0.019	0.019	0.019	0.019	Tatsuya Miyamoto	TM24Amygdala		
12	CA1_Context	<	CA1	BA_Ext	<	BA			Pikänen, 2000	Mouse	Unsurveyed		4	DOC(ati)	Folia morphologica	Review	BA_Ext (02/02) [Pikänen, 2000]	CA1_ContextBA_Ext	[Pikänen, 2000]	0.700	0.700	0.950	0.800	0.5	0.1	0.019	0.019	0.019	0.019	Tatsuya Miyamoto	TM24Amygdala		
13	BA_Ext	<	BA	INAvm	=	INAvm			Duvarci, 2014	Mouse	Unsurveyed		2	DOC	Neuron	Review	INAvm (03/03) [Duvarci, 2014]	BA_ExtINAvm	[Duvarci, 2014]	0.700	1.000	0.950	0.800	0.5	0.1	0.027	0.027	0.027	0.027	Tatsuya Miyamoto	TM24Amygdala		
14	BA_Fear	<	BA	CEm	=	CEm			Duvarci, 2014	Mouse	Unsurveyed		2	DOC	Neuron	Review	CEm (03/03) [Duvarci, 2014]	BA_FearCEm	[Duvarci, 2014]	0.700	1.000	0.950	0.800	0.5	0.1	0.027	0.027	0.027	0.027	Tatsuya Miyamoto	TM24Amygdala		

Exhaustive fitting of Motifs for FRG construction (1/3)



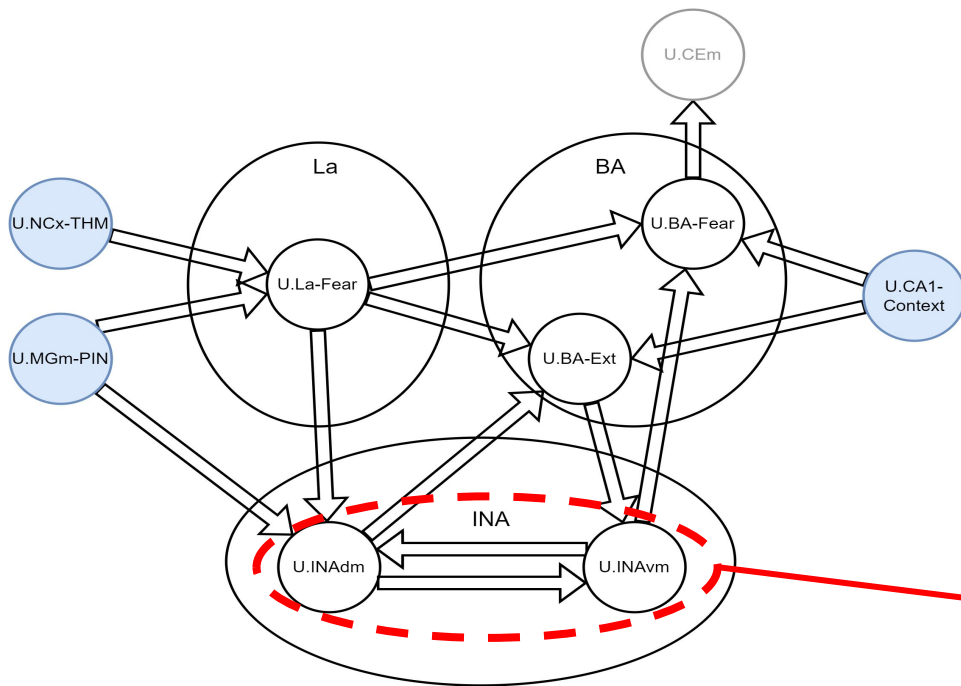
まず、Input normalization(Ba-Extの信号調節)がある。

Exhaustive fitting of Motifs for FRG construction (2/3)

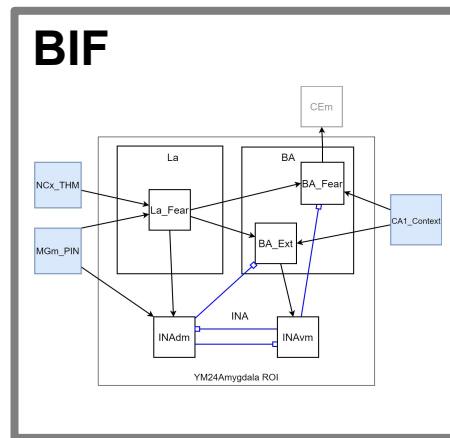


次に、Relayと2つ目のInput-Normalization(Ba_Fearの信号調節)がある。

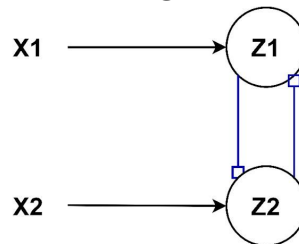
Exhaustive fitting of Motifs for FRG construction (3/3)



最後にSwitchingがある。

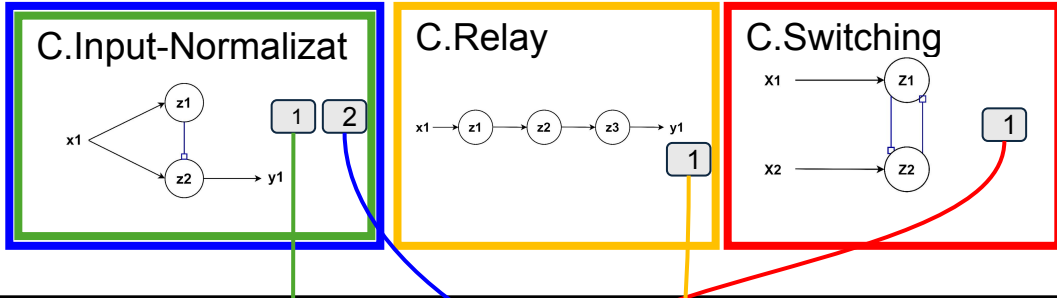


C.Switching

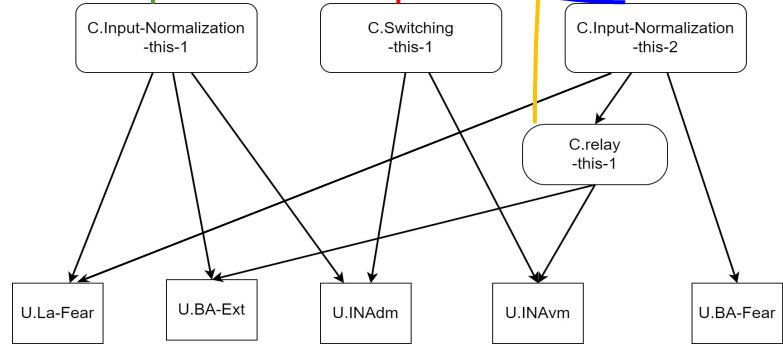


FRG

Motifs

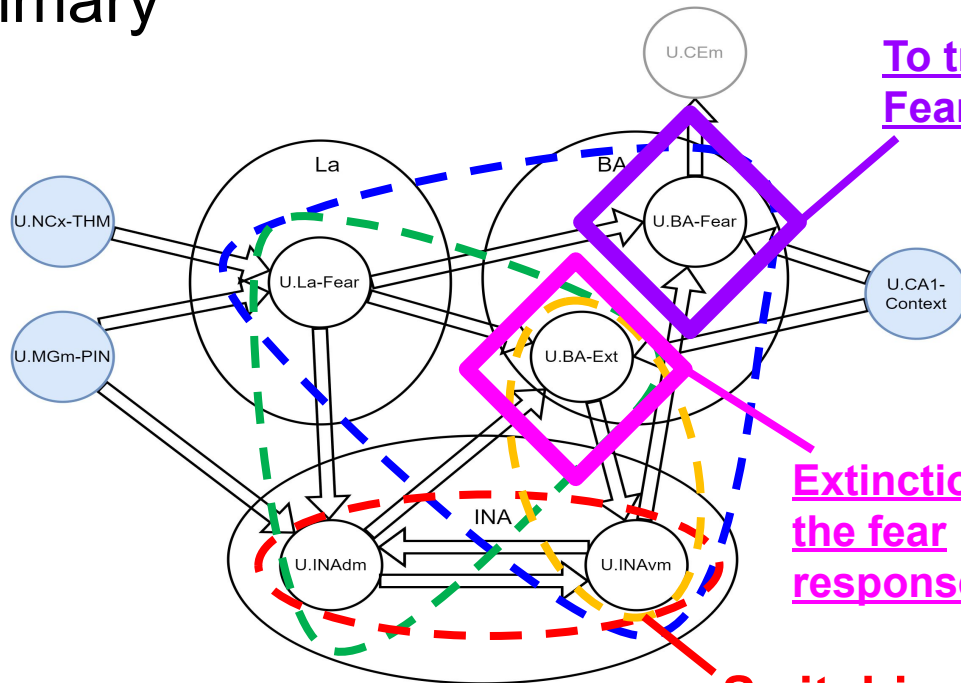


FRG



以上のように、HCDにmotifを当て込むと、
2つのInput-normalization と1つの Switching (と1つのRelay)が存在する。

Summary

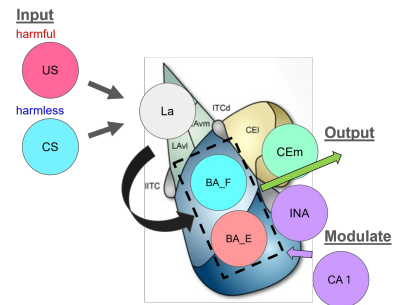


To trigger a Fear response.

Extinction of the fear response.

Switching

Amygdala



- ・自然に当てはめられたモチーフは 3つ(正確には4つ)だが、この回路のポイントを遠目には表現できている。
(※扁桃体の恐怖条件付け回路:刺激に対して、恐怖反応とその消去が、互いに調整を受けながら生じる)
- ・今後はモデルシミュレーション等で、検証していく予定。

Dataset Description

3 Dataset Description

Repository location BRA Editorial System (BRAES) <https://sites.google.com/wba-initiative.org/braes/data>

Object name and versions Please refer to the “Project” sheet in the BRA data for the more detail of data summary.

Table 1: BRA DATA SUMMARY

BRA Data			
Object Name	Template	Including Content(s)	
		BIF	HCD/FRG
YM24Amygdala.bra	<i>version 2.0</i>	√	√

Table 2: BRA IMAGE SUMMARY

Graphic Files: BIF Image, HCD Image, FRG Image	
File Type	Object Name
BIF Image	YM24AmygdalaBIF.xml
HCD Image	YM24AmygdalaHCD.xml
FRG Image	YM24AmygdalaFRG.xml

Creation dates 2024-02-08 to 2024-06-30.

Language English.

License The open license under which the data has been deposited (CC-BY 4.0).

Publication date 2024-07-01.